蜡皮蜥的核型

THE KARYOTYPES OF *LEIOLEPIS BELLIANA BELLIANA*

关键词 蜡皮蜥 核型

Key words *Leiolepis belliana belliana* Karyotype

蜡皮蜥属爬行纲有鳞目蜥蜴亚目鬣蜥科。Hall (1970) 从细胞分类和种群分布，演化的角度，对泰国曼谷和新加坡的蜡皮蜥核型进行研究讨论，但未见详细的核型分析报告。本文报告我国蜡皮蜥的核型。此外，还将我国蜡皮蜥的核型与鬣蜥科其它动物的核型 (Benirschke, 1973; Gorman, 1973)，以及昆明龙蜥的核型(李树深等，1981)，特别是曼谷、新加坡蜡皮蜥的核型 (Hall, 1970) 作比较，并讨论我国蜡皮蜥核型的特点。

材料与方法 实验动物捕自湛江市郊。以骨髓为材料，采用秋水仙素、低渗处理、空气干燥制片、Giemsa 染色技术制备染色体标本。以及染色体的测量和分类等均按昆明龙蜥的核型分析方法进行（李树深等，1981）。

结果与讨论 在油镜下统计了100个中期分裂相，其中49个相是12条大型染色体和24条小型染色体，23个相是12条大型染色体和22条小型染色体。所以蜡皮蜥的染色体数目为2n=36 (12M+24m)；染色体臂数为 NF=48，大染色体臂数为NF=24（图1、表1）。

表1 蜡皮蜥大型染色体的相对长度及臂比

Tab. 1 The relative length and Centromere ratio of chromosomes of the *Leiolepis belliana belliana*

编 号 No	相对长度（平均值±标准差） relative length	臂比指数（平均值±标准差） arm ratio
1	100	1.325±0.208
2	83.70±7.04	1.404±0.156
3	69.84±6.71	1.239±0.098
4	62.98±5.15	1.263±0.232
5	51.75±3.00	1.217±0.101
6	31.47±3.65	1.394±0.241

根据图1、表1，可以把蜡皮蜥的体细胞染色体（2n=12M+24m）分类如下：

Ⅰ组 只包括1对最大的染色体——第1号大型染色体，具中部着丝点，长臂有随体。

Ⅱ组 包括5对大型染色体——第2、3、4、5、6号。这5对大型染色体均属中部着丝点染色体。可以从长度区分2、5、6号染色体。而3、4号染色体，由于长度比较接近，难于鉴别。

Ⅲ组 包括12对微小染色体。

据Gorman (1973)，鬣蜥科总计报告了11个种的核型。李树深等 (1981) 报告了昆明龙蜥的（下转第190页）

* 本文1985年8月2日收到，1985年10月28日收到修改稿。

（上接第164页）核型。他们认为该科核型的共同特点是大染色体和小染色体之间有明显的界限，大染色体的臂数多半为24。而蜡皮蜥的核型除具上述特征外，其第1号染色体长臂上具随体，并比昆明龙蜥多2条小染色体。我国的蜡皮蜥与曼谷的蜡皮蜥，两者的核型基本相同，如 $2n=36$ $(12M+24m)$，$NF=48$，第1号染色体长臂上均具随体，均未发现有异型性染色体存在等。新加坡孤雌蜡皮蜥具三倍体（$3n=54$）的核型，而未发现我国的雌蜡皮蜥具此核型。据 Hall（1970）报告曼谷蜡皮蜥是由泰国北部迁移去的。我国位于泰国北面，新加坡处于其南面。三倍体核型的出现，这可能与蜡皮蜥的种群区域分布有关。

容寿柏　罗钦洪　戴绍祥
（湛江水产学院养殖系）

“抗乙酰胆碱受体抗体的放射免疫测定及在重症肌无力症临床中的应用”研究成果鉴定会在昆明召开

1987年3月11—13日在昆明市，由中国科学院昆明分院主持召开了“抗乙酰胆碱受体抗体的放射免疫测定及在重症肌无力症临床中的应用”研究成果鉴定会。来自全国从事蛇毒与生化、临床医学、放射免疫等研究的专家共31人参加会议。

到会代表听取了昆明动物研究所、华西医科大学、浙江医科大学的研究报告后，一致认定：本研究设计严密，实验方法有所创新，实验结果准确可靠；本研究在国内首次报道了173例重症肌无力病例和较深入的基础、临床研究，所取得的研究结果与当前同类工作的国际水平相当，居国内领先地位。

Rong Shoubai *et al.*: Karyotype of *Leiolepis belliana belliana*

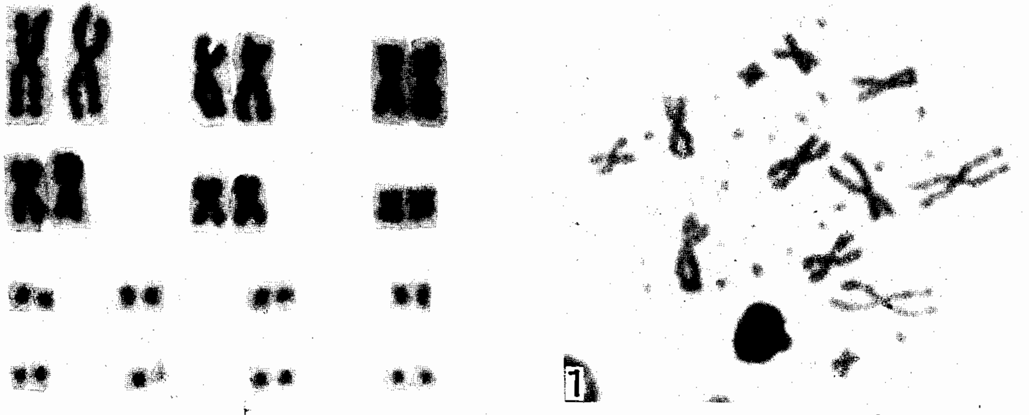


Fig. 1 Karyotype of *Leiolepis belliana belliana*

Zhu Hua: Effects of Selenium on the Growth, Glutathione Peroxidase and Ultrastructure of *Ochromonas danica*

Explanation of Figures

C, chloroplast; ER, endoplasmic reticulum; F, flagellum; G, Golgi apparatus; L. Leucosin; M, mitochondria; N, nucleus; Nu, nucleolus

Pl. II. 1. Ultrastructural changes of chloroplast of *Ochromonas* in medium containing Se^{4+} (6ppm). Note the nucleolus-like bodies (↑). ×15,000.

2. Nucleolus-like bodies in the nucleoid region of chloroplast (↑). ×32,000.

3. Nucleolus-like body gives the same reaction to EDTA treatment as nucleolus. ×22,000.

4. Location of nucleolus-like body (↑) in chloroplast of cells in medium containing Se^{4+}. ×24,000.

5. Enlarged nucleolus-like body. ×68,000.

6. Mitochondria of cells in medium without Se^{4+}. 30,000.

7. Mitochondria of cells in medium containing Se^{4+}. Arrow points to nucleolus-like body. ×32,000.